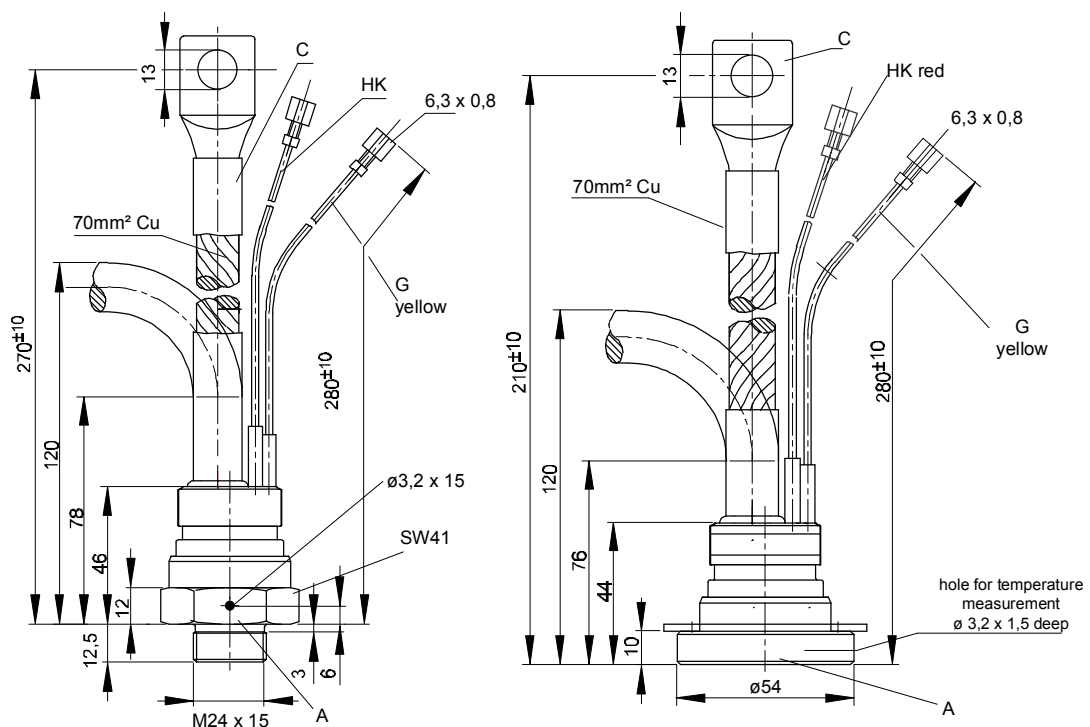




European Power-  
Semiconductor and  
Electronics Company

## Marketing Information T 221 N



# T 221 N

Elektrische Eigenschaften		Electrical properties				
<i>Höchstzulässige Werte</i>		<i>Maximum rated values</i>				
Periodische Vorwärts- und Rückwärts-Spitzenperrspannung		repetitive peak forward off-state and reverse voltages	$t_{vj} = -40^{\circ}\text{C} \dots t_{vj \max}$	$V_{\text{DRM}}, V_{\text{RRM}}$	600 800 1000 1200 1400 1600 1800	V
Vorwärts-Stoßspitzenperrspannung		non-repetitive peak forward off-state voltage	$t_{vj} = -40^{\circ}\text{C} \dots t_{vj \max}$	$V_{\text{DSM}} = V_{\text{DRM}}$	600 800 1000 1200 1400 1600 1800	V
Rückwärts-Stoßspitzenperrspannung		non-repetitive peak reverse voltage	$t_{vj} = +25^{\circ}\text{C} \dots t_{vj \max}$	$V_{\text{RSM}} = V_{\text{RRM}}$	700 900 1100 1300 1500 1700 1900	V
Durchlaßstrom-Grenzeffektivwert		RMS on-state current		$I_{\text{TRMSM}}$	450	A
Dauergrenzstrom		average on-state current	$t_c = 85^{\circ}\text{C}$	$I_{\text{TAVM}}$	221	A
			$t_c = 70^{\circ}\text{C}$		285	A
Stoßstrom-Grenzwert		surge current	$t_{vj} = 25^{\circ}\text{C}, t_p = 10 \text{ ms}$	$I_{\text{TSM}}$	6500	A
			$t_{vj} = t_{vj \max}, t_p = 10 \text{ ms}$		5700	A
Grenzlastintegral		$I^2 t$ -value	$t_{vj} = 25^{\circ}\text{C}, t_p = 10 \text{ ms}$	$I^2 t$	212000	$\text{A}^2 \text{s}$
			$t_{vj} = t_{vj \max}, t_p = 10 \text{ ms}$		163000	$\text{A}^2 \text{s}$
Kritische Stromsteilheit		critical rate of rise of on-state current	$v_D \leq 67\%, V_{\text{DRM}}, f = 50 \text{ Hz}$	$(di_T/dt)_{cr}$	150	$\text{A}/\mu\text{s}$
Kritische Spannungssteilheit		critical rate of rise of off-state voltage	$v_L = 10 \text{ V}, i_{GM} = 1 \text{ A}, di_G/dt = 1 \text{ A}/\mu\text{s}$ $t_{vj} = t_{vj \max}, v_D = 67\% V_{\text{DRM}}$	$(dv/dt)_{cr}$	1000	$\text{V}/\mu\text{s}$
<i>Charakteristische Werte</i>		<i>Characteristic values</i>				
Durchlaßspannung		on-state voltage	$t_{vj} = t_{vj \max}, i_T = 800 \text{ A}$	$v_T$	max. 1,62	V
Schleusenspannung		threshold voltage	$t_{vj} = t_{vj \max}$	$V_{T(\text{TO})}$	1,1	V
Ersatzwiderstand		slope resistance	$t_{vj} = t_{vj \max}$	$r_T$	0,75	$\text{m}\Omega$
Zündstrom		gate trigger current	$t_{vj} = 25^{\circ}\text{C}, v_D = 6 \text{ V}$	$I_{GT}$	max. 200	mA
Zündspannung		gate trigger voltage	$t_{vj} = 25^{\circ}\text{C}, v_D = 6 \text{ V}$	$V_{GT}$	max. 2	V
Nicht zündender Steuerstrom		gate non-trigger current	$t_{vj} = t_{vj \max}, v_D = 6 \text{ V}$	$I_{GD}$	max. 10	mA
Nicht zündende Steuerspannung		gate non-trigger voltage	$t_{vj} = t_{vj \max}, v_D = 0,5 V_{\text{DRM}}$	$V_{GD}$	max. 0,2	V
Haltestrom		holding current	$t_{vj} = 25^{\circ}\text{C}, v_D = 6 \text{ V}, R_A = 5 \Omega$	$I_H$	max. 300	mA
Einraststrom		latching current	$t_{vj} = 25^{\circ}\text{C}, v_D = 6 \text{ V}, R_{GK} \geq 10 \Omega$ $i_{GM} = 1 \text{ A}, di_G/dt = 1 \text{ A}/\mu\text{s}, t_g = 20 \mu\text{s}$	$I_L$	max. 1,2	A
Vorwärts- und Rückwärts-Sperrstrom		forward off-state and reverse currents	$t_{vj} = t_{vj \max}, V_D = V_{\text{DRM}}, v_R = V_{\text{RRM}}$	$i_D, i_R$	max. 50	mA
Zündverzug		gate controlled delay time	$t_{vj} = 25^{\circ}\text{C}, i_{GM} = 1 \text{ A}, di_G/dt = 1 \text{ A}/\mu\text{s}$	$t_{gd}$	max. 4	$\mu\text{s}$
Freiwerdezeit		circuit commutated turn-off time	siehe Techn.Erl./see Techn. Inf.	$t_q$	typ. 200	$\mu\text{s}$
Thermische Eigenschaften		Thermal properties				
Innerer Wärmewiderstand		thermal resistance, junction to case	$\Theta = 180^{\circ} \text{ el. sin DC}$	$R_{\text{thJC}}$	max. 0,12 max. 0,116	$^{\circ}\text{C}/\text{W}$
Höchstzul.Sperrsichttemperatur		max. junction temperature		$t_{vj \max}$	125	°C
Betriebstemperatur		operating temperature		$t_{c op}$	-40...+125	°C
Lagertemperatur		storage temperature		$t_{slg}$	-40...+150	°C
Mechanische Eigenschaften		Mechanical properties				
Si-Elemente mit Druckkontakt		Si-pellet with pressure contact				
Anzugsdrehmoment		tightening torque		$M$	60	Nm
Anpreßkraft		clamping force		$F$	5,5	kN
Gewicht, Bauform E		weight, case design E		$G$	typ. 620	g
Kriechstrecke		creepage distance			12	mm
Feuchteklassse		humidity classification	DIN 40040			C
Schwingfestigkeit		vibration resistance	$f = 50 \text{ Hz}$		50	$\text{m/s}^2$
Maßbild, anliegend		outline, attached	DIN 41 894-222A4			

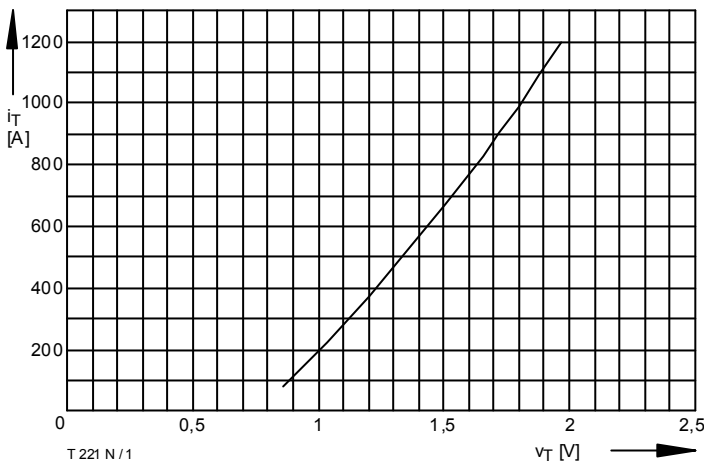


Bild / Fig. 1  
Durchlaßkennlinie / On-state characteristic  $i_T = f(v_T)$ ,  $t_{vj} = t_{vj \max}$

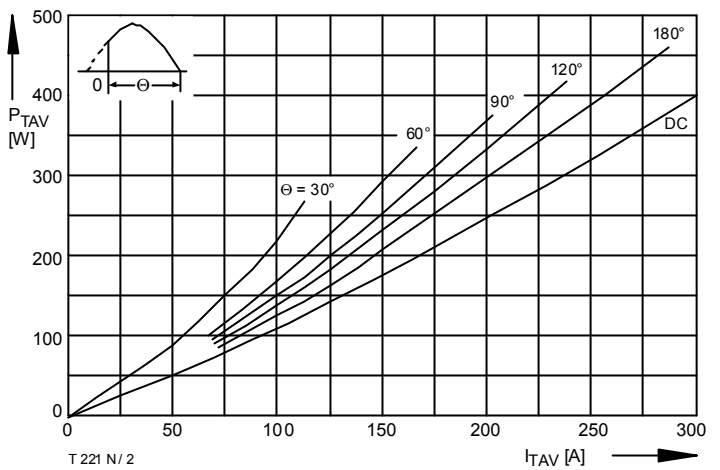


Bild / Fig. 2  
Durchlaßverlustleistung / On-state power loss  $P_{TAV} = f(I_{TAV})$   
Parameter: Stromflußwinkel / Current conduction angle  $\theta$

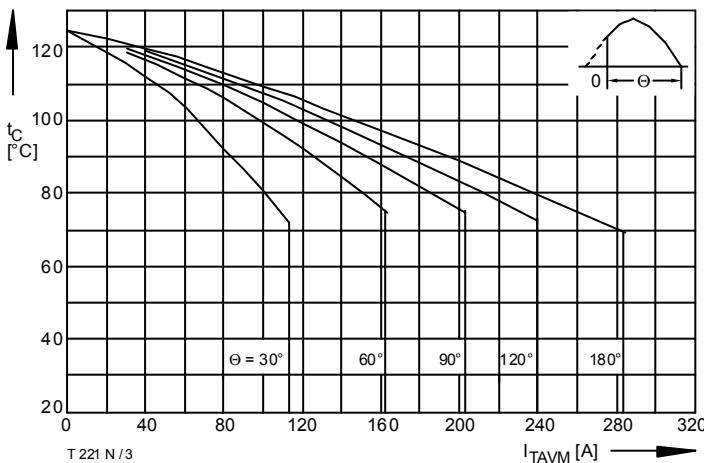


Bild / Fig. 3  
Höchstzulässige Gehäusetemperatur / Max. allowable case temperature  
 $t_C = f(I_{TAVM})$   
Parameter: Stromflußwinkel / Current conduction angle  $\theta$

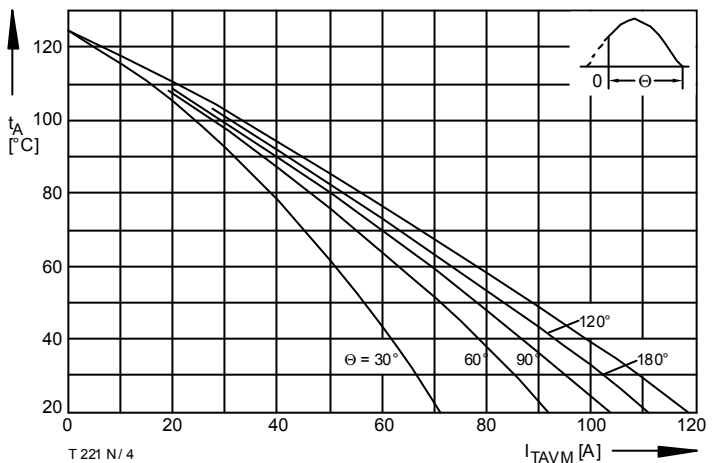


Bild / Fig. 4  
Höchstzulässige Gehäusetemperatur / Max. allowable case temperature  
 $t_A = f(I_{TAVM})$   
Luftselbstkühlung / Natural air cooling  
Kühlkörper / Heatsink: K0.55-FB54-A  
Parameter: Stromflußwinkel / Current conduction angle  $\theta$

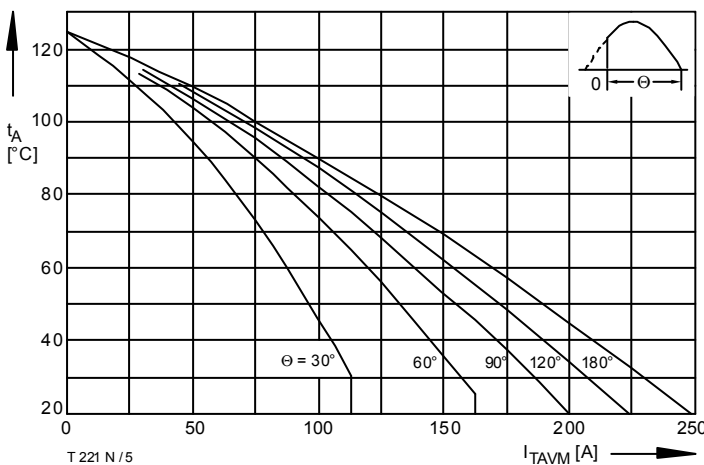


Bild / Fig. 5  
Höchstzulässige Kühlmitteltemperatur / Max. allowable cooling medium temperature  $t_A = f(I_{TAVM})$   
Verstärkte Luftkühlung / forced air cooling  
Kühlkörper / Heatsink: K0.55-FB54-A,  $V_L = 50 \text{ l/s}$   
Parameter: Stromflußwinkel / Current conduction angle  $\theta$

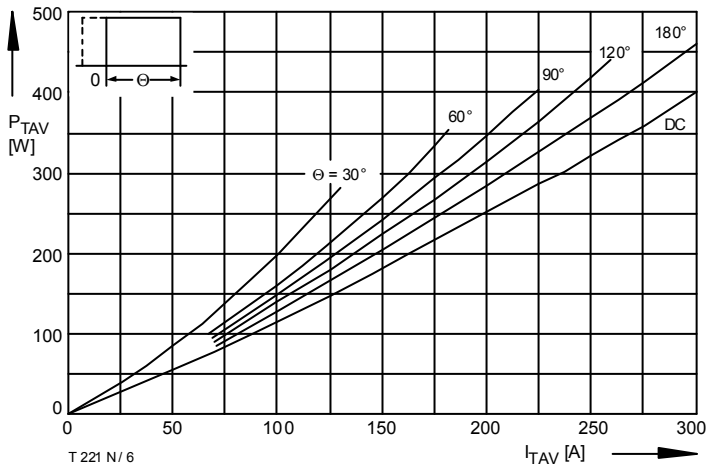


Bild / Fig. 6  
Durchlaßverlustleistung / On-state power loss  $P_{TAV} = f(I_{TAV})$   
Parameter: Stromflußwinkel / Current conduction angle  $\theta$

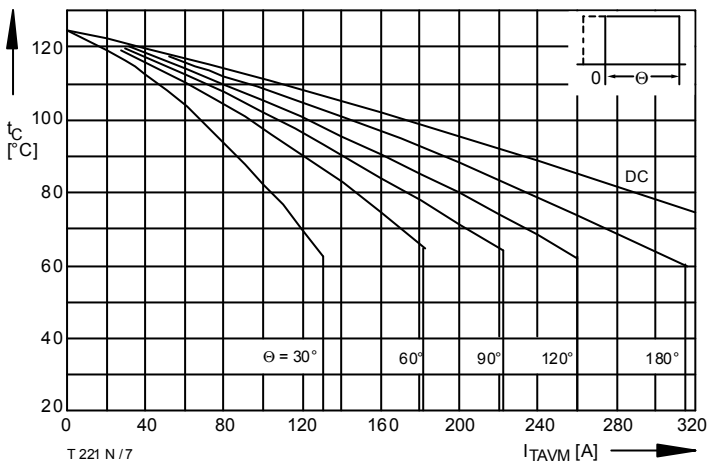


Bild / Fig. 7  
Höchstzulässige Gehäusetemperatur / Max. allowable case temperature  
 $t_C = f(I_{TAVM})$   
Parameter: Stromflußwinkel / Current conduction angle  $\theta$

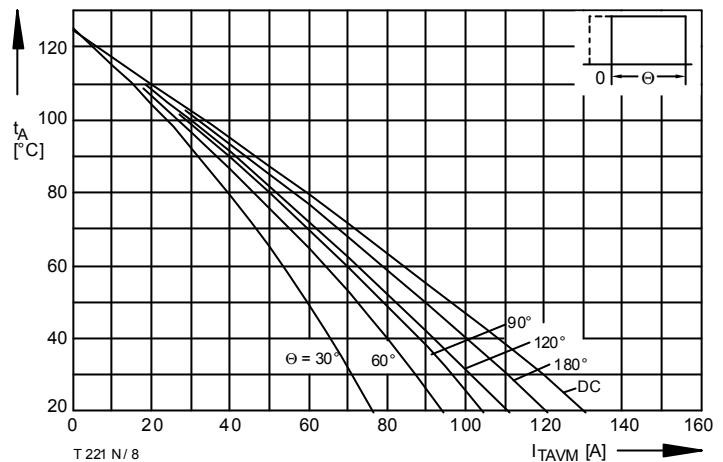


Bild / Fig. 8  
Höchstzulässige Kühlmitteltemperatur / Max. allowable cooling medium  
temperatur  $t_A = f(I_{TAVM})$   
Luftselbstkühlung / Natural air-cooling  
Kühlkörper / Heatsink: K0.55-FB54-A  
Parameter: Stromflußwinkel / Current conduction angle  $\theta$

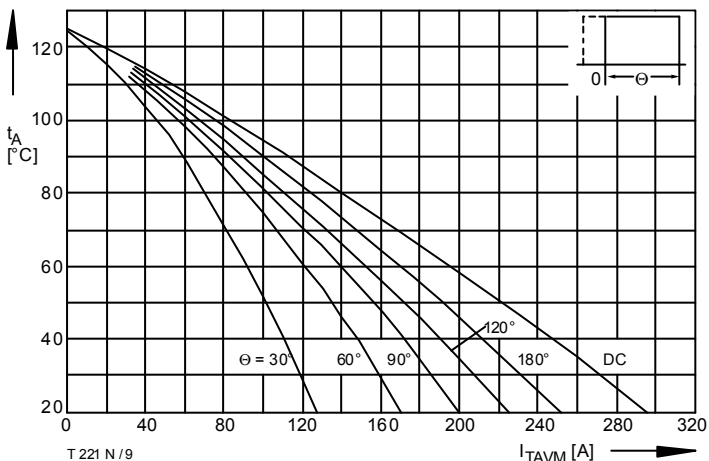


Bild / Fig. 9  
Höchstzulässige Kühlmitteltemperatur / Max. allowable cooling medium  
temperatur  $t_A = f(I_{TAVM})$   
Verstärkte Luftkühlung / forced air cooling  
Kühlkörper / Heatsink: K0.55-FB54-A,  $V_L = 50 \text{ l/s}$   
Parameter: Stromflußwinkel / Current conduction angle  $\theta$

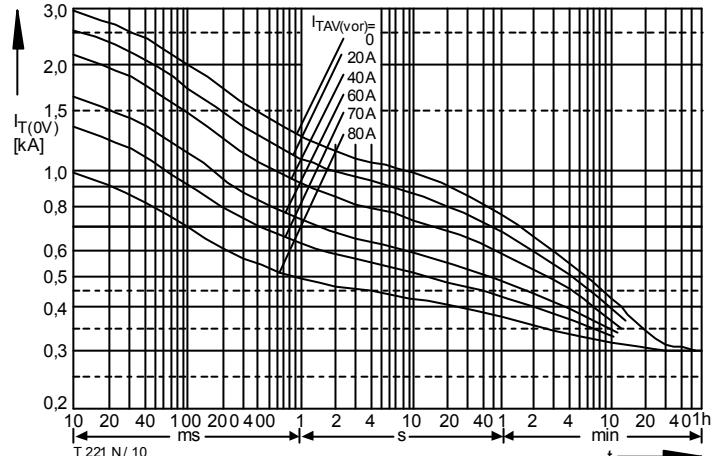


Bild / Fig. 10  
Überstrom / Overload on-state current  $I_{T(OV)} = f(t)$   
Luftselbstkühlung / Natural air-cooling,  $t_A = 45^\circ\text{C}$   
Kühlkörper / Heatsink: K0.55-FB54-A  
Parameter: Vorlaststrom / Pre-load current  $I_{TAV(vor)}$

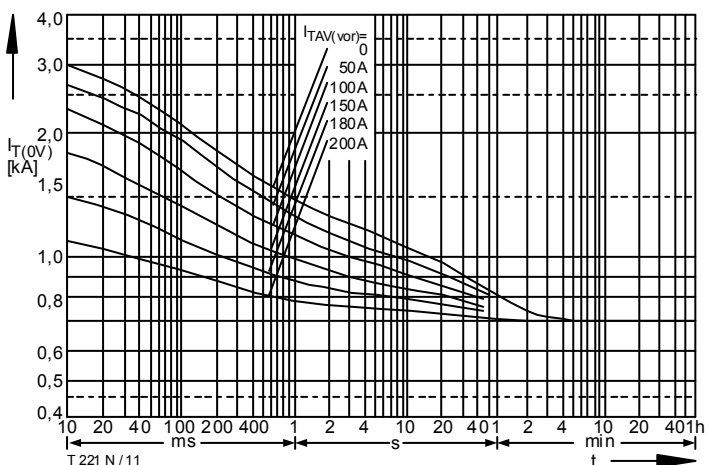


Bild / Fig. 11  
Überstrom / Overload on-state current  $I_{T(OV)} = f(t)$   
Verstärkte Luftkühlung / Forced air-cooling,  $t_A = 35^\circ\text{C}$   
Kühlkörper / Heatsink: K0.55-FB54-A,  $V_L = 50 \text{ l/s}$   
Parameter: Vorlaststrom / Pre-load current  $I_{TAV(vor)}$

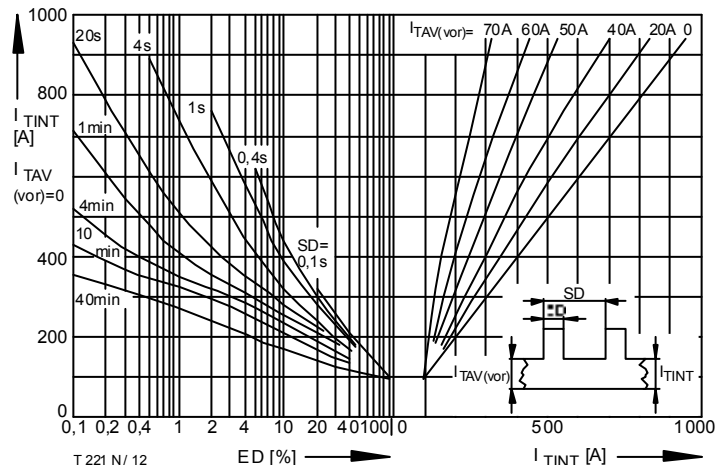


Bild / Fig. 12  
Höchstzulässiger Durchlaßstrom bei Aussetzbetrieb / Max. allowable  
on-state current at intermittent operation  $I_{TINT} = f(ED)$   
Luftselbstkühlung / Natural air-cooling,  $t_A = 45^\circ\text{C}$   
Kühlkörper / Heatsink: K0.55-FB54-A  
Parameter: Spieldauer / Cycle duration SD  
Vorlaststrom / Pre-load current  $I_{TAV(vor)}$

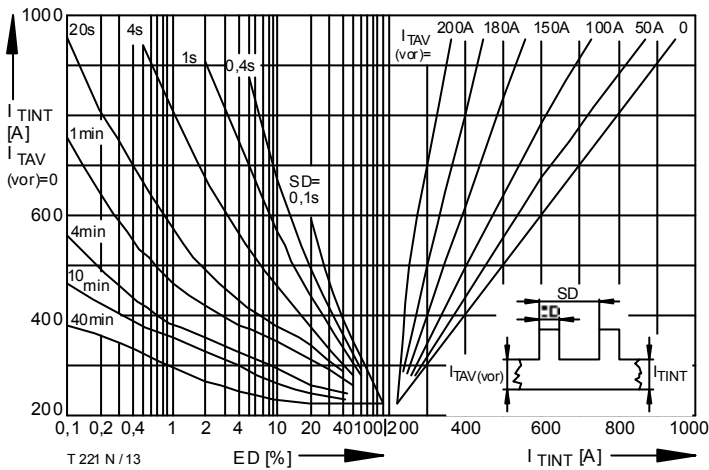


Bild / Fig. 13  
Höchstzulässiger Durchlaßstrom bei Aussetzbetrieb / Max. allowable on-state current at intermittent operation  $I_{TINT} = f(ED)$   
Verstärkte Luftkühlung / Forced air-cooling,  $t_A = 35^\circ\text{C}$   
Kühlkörper / Heatsink: K0.55-FB54-A,  $V_L = 50 \text{ l/s}$   
Parameter: Spieldauer / Cycle duration SD  
Vorlaststrom / Pre-load current  $I_{TAV(vor)}$

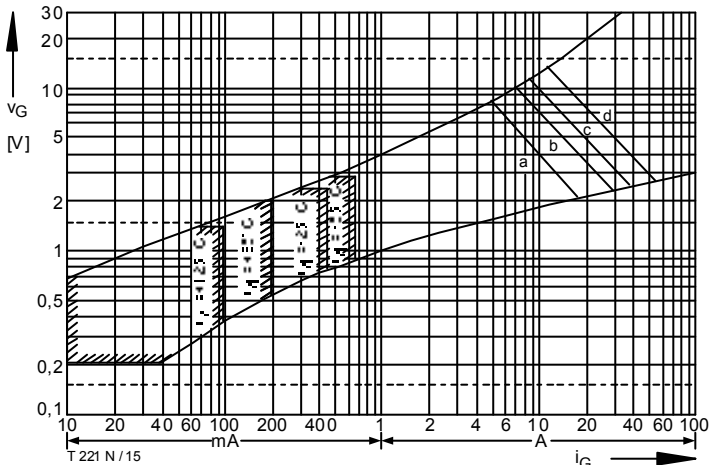


Bild / Fig. 15  
Steuercharakteristik mit Zündbereichen / Gate characteristic with triggering areas  $v_G = f(i_G)$ ,  $V_D = 6 \text{ V}$   
Parameter: a b c d  
Steuerimpulsdauer / trigger pulse duration  $t_g$  [ms] 10 1 0,5 0,1  
Höchstzulässige Spitzesteuerverlustleistung /  
Max. rated peak gate power dissipation [W] 40 80 100 150

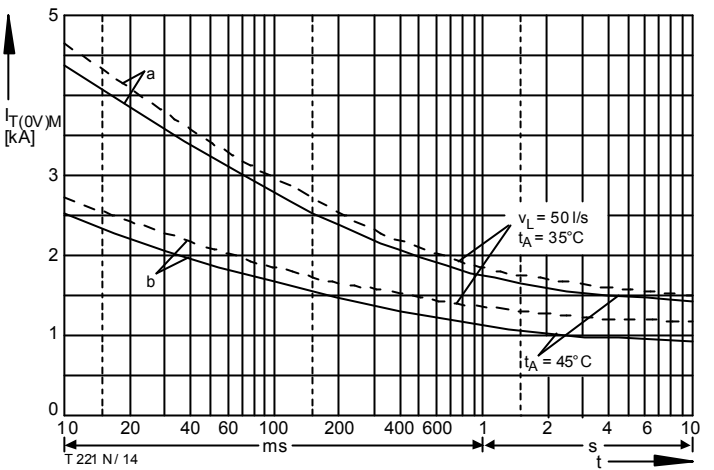
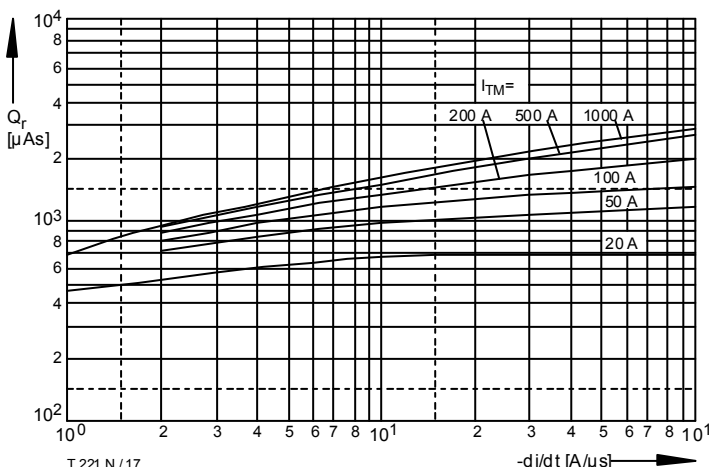


Bild / Fig. 14  
Grenzstrom / Max. overload on-state current  $I_{T(OV)M} = f(t)$ ,  $V_{RM} = 0,8 \text{ V}_{RRM}$   
---- Luftselbstkühlung / Natural air-cooling,  $t_A = 45^\circ\text{C}$   
— Verstärkte Luftkühlung / Forced air-cooling,  $t_A = 35^\circ\text{C}$   
Kühlkörper / Heatsink: K0.55-FB54-A,  $V_L = 50 \text{ l/s}$   
Belastung aus / Surge current occurs:  
a - Leerlauf / No-load conditions  
b - Betrieb mit Dauergrenzstrom / During operation at max. average on-state current  $I_{TAVM}$

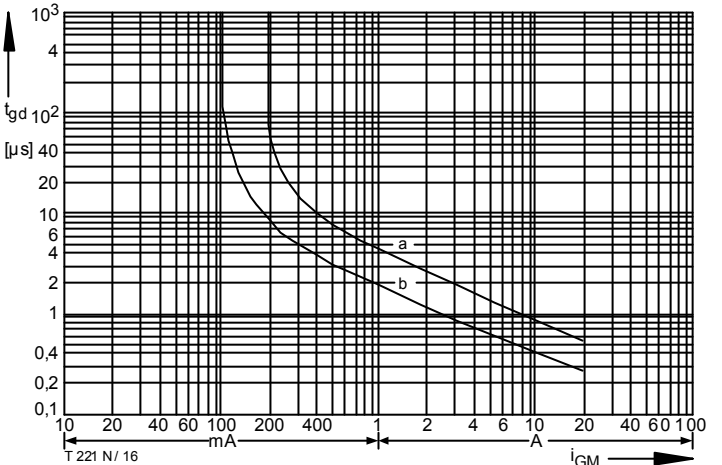
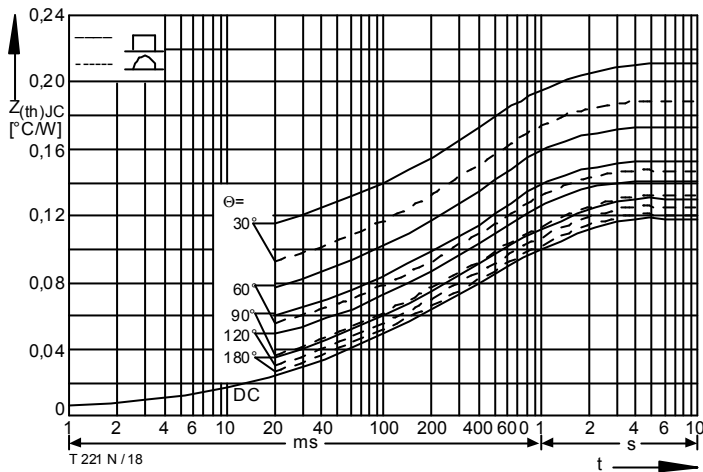


Bild / Fig. 16  
Zündverzug / Gate controlled delay time  $t_{gd} = f(i_{GM})$   
 $t_j = 25^\circ\text{C}$ ,  $di_G/dt = i_{GM}/1\mu\text{s}$   
a - Maximaler Verlauf / Limiting characteristic  
b - Typischer Verlauf / Typical characteristic

Bild / Fig. 17  
Sperrverzögerungsladung / Recovered charge  $Q_r = f(di/dt)$   
 $t_{vj} = t_{vj \max}$ ,  $V_R = 0,5 \text{ V}_{RRM}$ ,  $V_{RM} = 0,8 \text{ V}_{RRM}$   
Parameter: Durchlaßstrom / On-state current  $i_{TM}$



Analytische Elemente des transienten Wärmewiderstandes  $Z_{thJC}$  pro Zweig für DC  
Analytical elements of transient thermal impedance  $Z_{thJC}$  per arm for DC

Pos. n	1	2	3	4	5	6	7
$R_{thn} [^{\circ}\text{C}/\text{W}]$	0,0106	0,0059	0,014	0,0153	0,0168	0,0176	0,036
$\tau_n [\text{s}]$	0,00117	0,0192	0,0405	0,168	0,222	0,805	0,84

Analytische Funktion / Analytical function:

$$Z_{thJC} = \sum_{n=1}^{n_{\max}} R_{thn} (1 - e^{-\frac{t}{\tau_n}})$$

Bild / Fig. 18

Transienter innerer Wärmewiderstand / Transient thermal impedance

$$Z_{thJC} = f(t)$$

Parameter: Stromflußwinkel / current conduction angle  $\theta$